

# 二次元噴流層における流動化状態と圧力損失特性 (第1報)

早野延男\*・山中久人\*・上滝具貞\*\*

Pressure Drop Characteristics in the Spouted Bed (I)

Nobuo HAYANO, Hisato YAMANAKA, Tomosada JYOTAKI

## Abstract

The granular beds in which air flows are called 'fixed, fluidized and spouted' beds, respectively, according to the flowing pattern of the granules inside the vessel.

Hitherto, it is said that fluidized and spouted beds are more effective than fixed beds for operation of the drying and agitation process of the gas-solid system. In this report, we call the granular layer which has the plate with many tiny holes at the bottom of the vessel a 'fluidized bed' in which air flows uniformly passing through the bed without the velocity distribution in the horizontal cross section. On the other hand, in the case of the 'spouted bed', there is a long slit at the bottom-center of the vessel and air rushes upwards from the slit into the bed just like the jet stream. Then, steep velocity distribution exists in the horizontal cross section inside the granular bed. As the inlet velocity of air increases the center part of the granular surface is raised gradually. Then, suddenly, eruption of the surface occurs.

The dynamic behavior of particles inside the bed and the pressure drop across the bed have been treated by many investigators, but because of the complexity of the phenomena itself, widely applicable results are not yet presented up to this time.

Especially, in the case of the spouted bed, we feel that the collection and analysis of the fundamental data are still insufficient.

This time, we used as the experimental apparatus the square vessel with the long slit at the bottom (two-dimensional spouted bed) and as for the granules, rape-seed ( $1.4\text{mm}\phi$ ), nylon-chip ( $2\text{mm}\phi \times 3\text{mm}$ : cylinder) and glass-bead (mean diameter:  $250\mu$ ) were used.

We obtained the following results with various experimental conditions.

- 1) It is realized that coarse particles are easier to fluidized than finer particles in the case of the spouted bed.
- 2) In the fixed granular bed, the curve of  $\Delta p_m \sim u_o$  ( $\Delta p_m$ : pressure drop across the bed,  $u_o$ : air velocity) draws the hysteresis loop, but, once the eruption occurs, the fixed bed shifts to a fluidized bed, and  $\Delta p_m$  remains almost a constant value in spite of the change of the air velocity. (see Fig.5)
- 3) When the granular bed is in the state of fluidization,  $\Delta p_m$  is nearly proportional to  $L$  (height of the layer) and this proportionality depends upon the apparent density of the granular bed. ( $\Delta p_m$  has larger value for heavier particles)
- 4) It is pointed out that the spouting velocity ' $u_{os}$ ' (spouting particle velocity occurring at the surface) has the increasing tendency of  $L$ , then,  $u_{os}$  reaches a constant value with  $L$  surpassing to an increasing value. (Fig.12)
- 5) From the consideration of  $\Delta p_m \sim u_o$  wave form, the state of the fluidization is divided into three stages:

Stage I : this stage corresponds to 'bubbling'.

Stage II : 'spouting' stage

Stage III : 'slugging' stage

- 6) It becomes clear that the so-called 'Index of fluidization'  $I_f$ , is very useful to analysing the experimental data for coarse granules; for finer particles  $I_f$  is not sufficiently applicable to the explanation of the spouting phenomena.

\* 生産機械工学科

\*\* 九州工業大学

### 1. はしがき

固体粒子と流体とを接触させて反応、乾燥、造粒などの単位操作を行なう方法として流動化法がある。この方法として、最初に実現されたのが流動層であるが、比較的大きな粒子では充分に流動化させることができない問題が指摘された。そこで考案されたのが噴流層である<sup>1)</sup>。

流動層 (Fluidized bed) と噴流層 (Spouted bed) の違いとしては、(1)取扱う粒子の大きさ (流動層では微細粒子、噴流層では粗大粒子)、(2)流体送入口の配置 (流動層では層断面に対して均一に流体が通過するように配置、噴流層では層断面の中心部に配置)、(3)

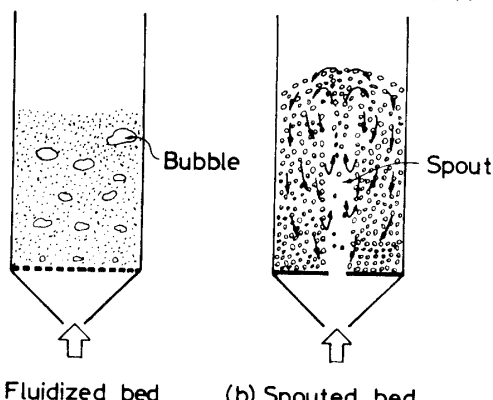


Fig. 1 Illustration of 'Fluidized bed' and 'Spouted bed'

流動化の状態などが挙げられる<sup>2, 3, 4, 5)</sup>。(2)については、容器底部をスカート状に絞った拡散型の流動層などの例外もある<sup>6)</sup>。また、逆に噴流層と呼ばれている装置においても、粒子層高や通過風速によっては流動層と同じ流動化状態となることもある<sup>1, 3)</sup>。Fig. 1 に流動層と噴流層における流動化の模様をモデル的に示す。このように噴流層では気柱 (Spout) と呼ばれる流体のみによる流路が形成されるのが特徴である<sup>1, 3, 7, 8)</sup>。

このように定義される噴流層については、各方面から研究されているが<sup>1, 2, 3, 4, 7, 8, 9, 10, 11, 12)</sup>、装置の形状や取扱う粒体の種類などによっては流動化の状態を充分に把握することができていないようである。そこで、今回は角型平底容器で、粗大粒子だけでなく微細な粒子の試料も用い、層高  $L$  の変化に伴う流動化の状態と圧力損失  $\Delta p_m$  などについて検討を行なった。尚、本報告で表現される噴流層とは容器底部の一部分 (ここでは中央部にスリットを配置) より流体を送入するという立場で定義し、流体の噴流作用で粒子が移動する現象を総じて噴流化と表現する。

### 2. 実験装置および方法

実験装置はFig. 2 に示すように送風機と噴流層の容器で構成される。風量の調節は送風機出口のバルブで行ない、風量は図中の記号④で示される場所にピトーパイプを挿入して測定される風速に管の断面積を乗じて算

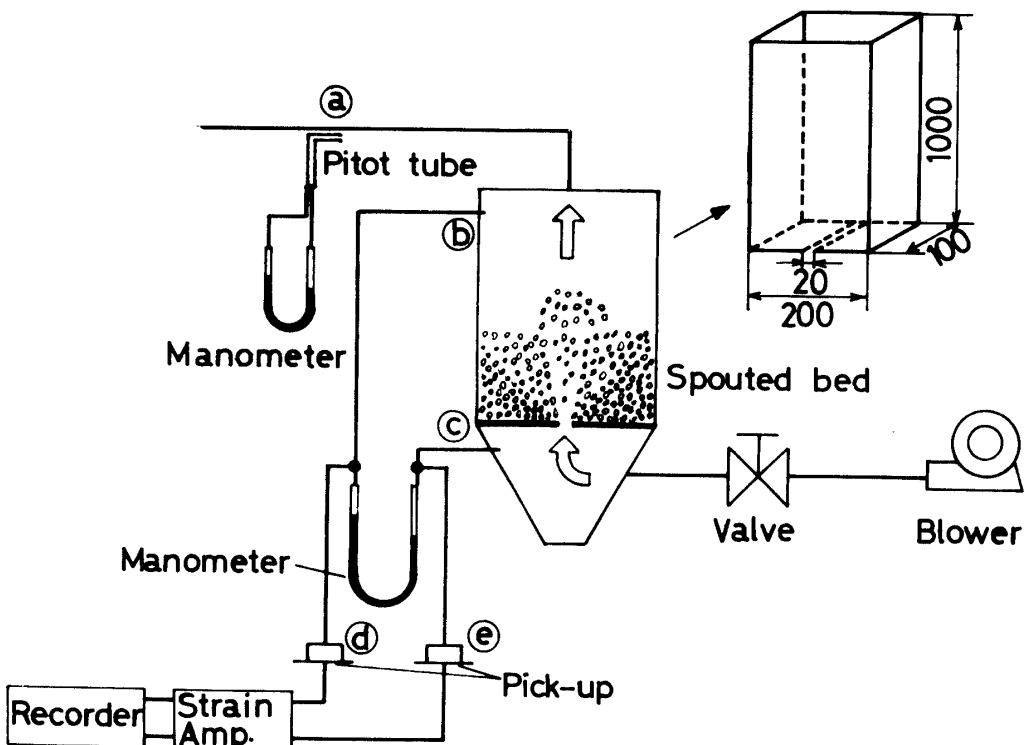
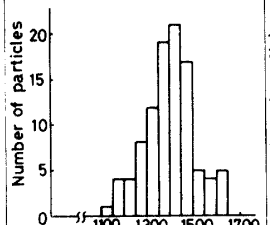
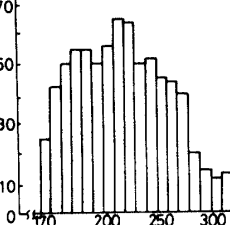


Fig. 2 Schematic diagram of the experimental apparatus

Table 1 Physical properties of the samples

	Rape-seed	Nylon-chip	Glass-bead
Particle shape	Sphere	Cylinder	Sphere
Mean diameter $d_p$ (cm)	0.140	$d=0.264, h=0.252$	0.025
Density $\rho_p$ (g/cm <sup>3</sup> )	1.12	1.14	2.50
Bulk density $\rho_b$ (g/cm <sup>3</sup> )	0.72	0.73	1.53
Angle of repose $\alpha$ (°)	27.7	33.9	27.5
Coefficient of internal friction $\mu_i$ (-)	0.390	0.397	0.435
Coefficient of wall friction $\mu_w$ (-)	0.231	0.306	0.326
Particle size distribution			

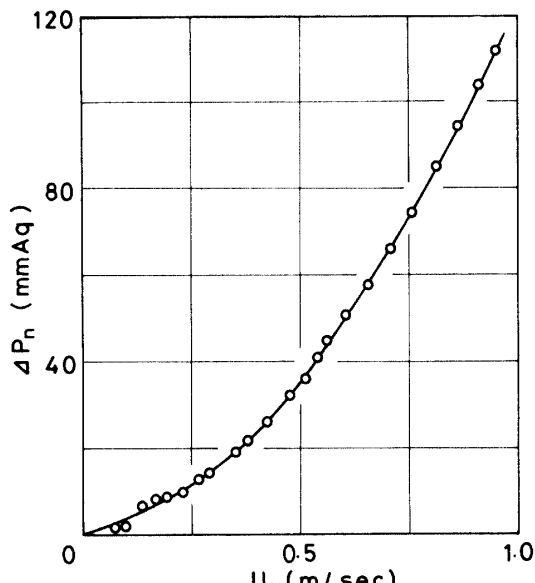


Fig. 3 Pressure drop across the slit

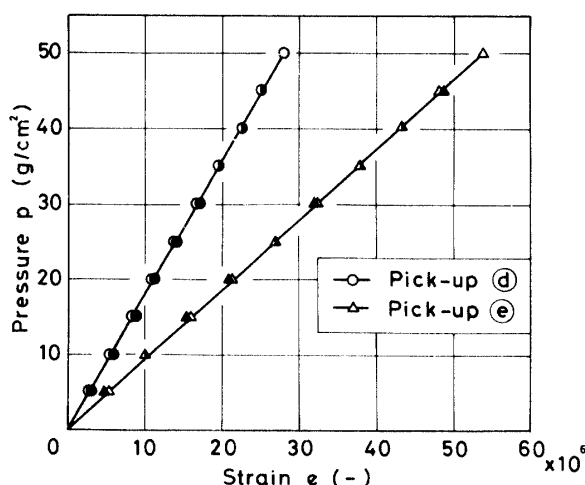


Fig. 4 Calibration curves of the pick-ups

出した。噴流層容器は幅が200mm、奥行きが100mm、高さが1,000mmの角型平底容器で、壁はすべて内側にガラス板、外側に透明なアクリル板を合わせた構造で容器内粉粒体の挙動が観察されるようになっている。流体が粉粒体層に送入される入口は容器底部の中央部に設けられた幅が20mmのスリットである。

このスリットには粉粒体が落下しないように目開きが100μの金網を装着している。スリット部の圧力損失  $\Delta p_n$  は Fig. 3 に示されているように空塔風速  $u_0$  に対応して指数関数的に上昇する（空塔風速  $u_0$  とは粉粒体層内を通過する風量を容器内断面積で割ったものである）、したがって、静止あるいは流動化している粉粒体層のみの圧力損失  $\Delta p_m$  は Fig. 2 で示される圧力タップ⑥、⑦間の静圧差（マノメーターで検出）から Fig. 3 のスリット部のみの圧損  $\Delta p_n$ （金網を装着した状態の圧損）を差し引いたものとなる。すなわち、⑥、⑦間の圧力差を  $\Delta p$  とすると

$$\Delta p_m = \Delta p - \Delta p_n$$

で表わされる。また、流動化している状態の容器内の圧力変動は④、⑦で示されるダイヤフラム型のピックアップで検出した。この2つのピックアップは Fig. 4 の較正曲線で示されているように極めて直線性が良い特性を有している。

このような装置で、粉粒体の物性と層高  $L$  を変えて流動化の状態および圧力損失について実験を行なった材料には、なたね、ナイロンチップ、ガラスピーブーズを使用した。これらの物性は Table. 1 に示されており、粒子の大きさ、形状、真密度などが大きく異っているのが特徴である。初期の充填層高  $L$  は、なたねでは

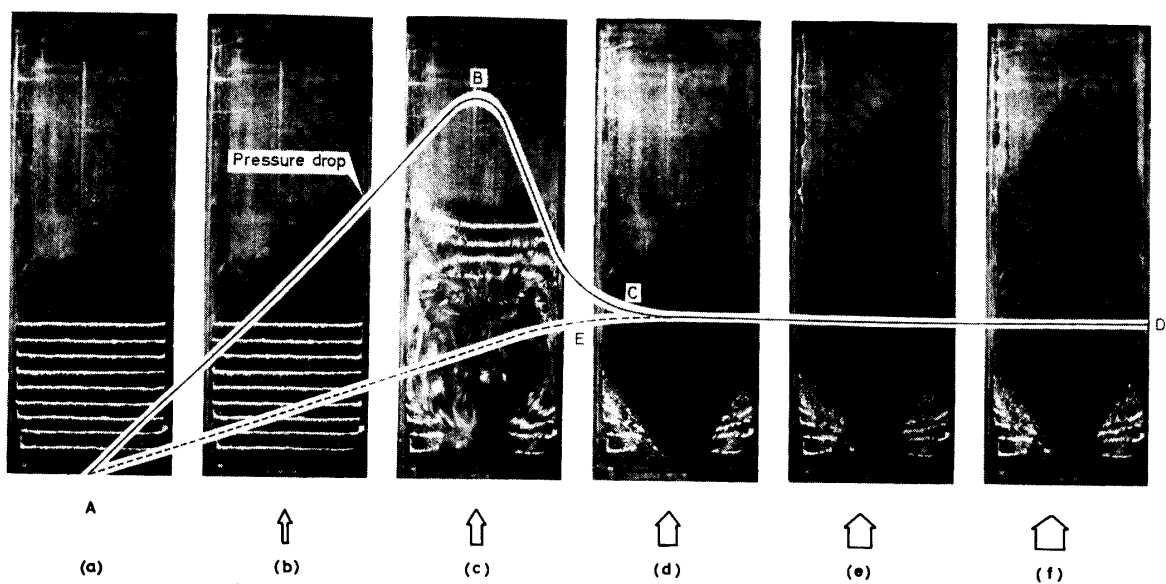


Photo. 1 Particles flow pattern in the spouted bed (Rape-seed)

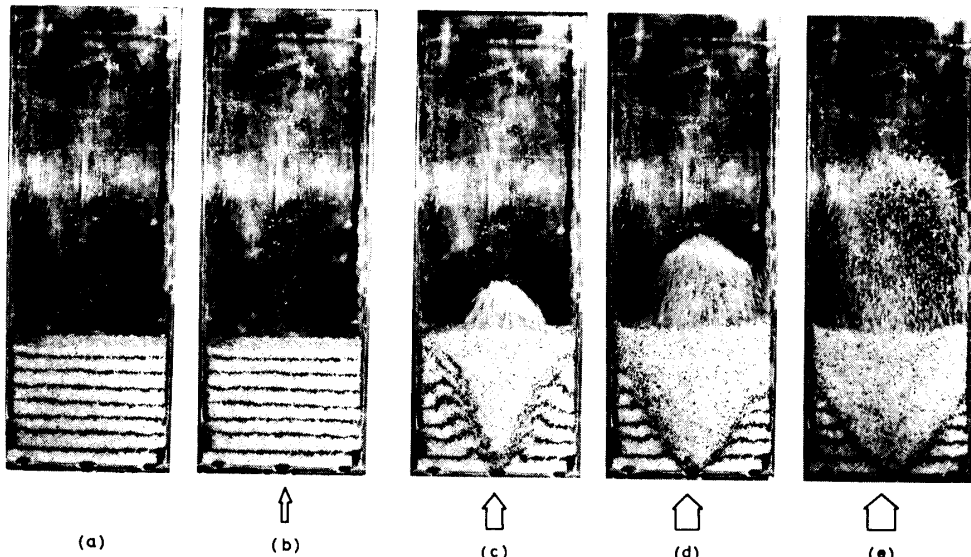


Photo. 2 Particles flow pattern in the spouted bed (Nylon-chip)

$L=50 \sim 300\text{mm}$  ナイロンチップとガラスビーズでは  $L=50 \sim 200\text{mm}$  までそれぞれ50mm間隔に変化させた。

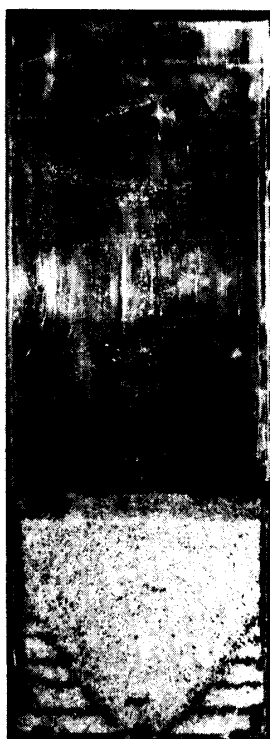
### 3. 流動化状態

容器内に材料を準静的に充填したのち、スリットより送入する風量を増加させて粉粒体層を通過する空塔風速（風量／容器内断面積）を増大させて行くと、粒子層は Photo. 1, 2 に見られるように固定層から噴流層へと、移行する。圧力損失曲線で示される A-B 間は粒子層は静止した状態を保ち、B 点近くまで風速を上昇させると層表面の粒子が上下・左右に僅かに揺動する動きを見せて、突如として B 点で示されるように層全体が爆発的な動きをする噴流現象が観察される。こ

のとき、圧力損失  $\Delta p_m$  は最大値を示す。一度噴流した後では、このような現象は再度生じることはなく、流体流路が V 字型に形成され、 $\Delta p_m$  は急激に減少し、風速を増大してもほとんど変化しない。噴流直後の B-C 間では Photo. 3 に示すように小さな気泡が発生して、これが層中央部をゆっくりと上昇する。ガラスビーズでは Photo. 4 に見られるように粒子が小さいために通気性が悪いので気泡が明瞭に観察され、しかも上昇するにつれて気泡が成長している。しかし、なたねやナイロンチップでは通気性が良いために Photo. 3 のような気泡の成長は観察されなかった。C-D 間では粒子の噴流化している様子が観察され、 $u_0$  の増大に伴って噴流の高さが上昇している。一方、ガラスビーズでは Photo. 5 のように  $u_0$  が大なるときには、連続し



(a)



(b)



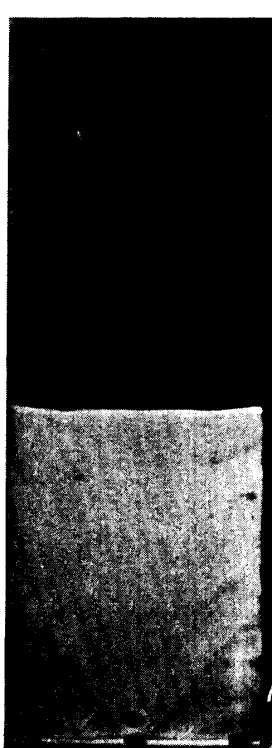
(a)



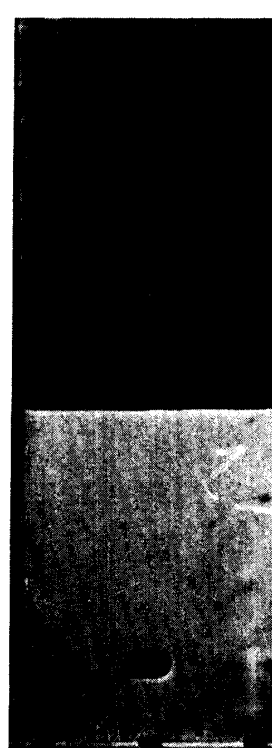
(b)

Photo. 3 Bubbling phenomena in the spouted bed  
(Nylon-chip, coarse particles)

Photo. 5 Behavior of glass-beads in the spouted  
bed at the high superficial velocity



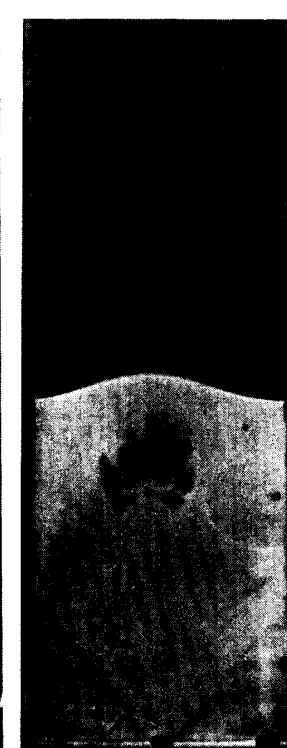
(a)



(b)



(c)



(d)

Photo. 4 Bubbling phenomena in the spouted bed (Glass-beads, fine particles)

た良好な噴流化の状態は得られず間欠的にしかも圧力変動の激しい状態となっている。したがって、これまで指摘されているように、粗大粒子を流動化させるには噴流層の方が適しているという従来の定説と符合する<sup>1,3)</sup>。

一度噴流させた後、風速を減少させて行くとPhoto. 1(c)で観察されるような粒子群の飛び出しではなくE点より固定層となる。したがって、圧損  $\Delta p_m$  は最大値を示すことなく風速の減少とともに破線上(E-A間)を下降する。再び風速を増加させた場合には  $\Delta p_m$  は波線(A-E)上を上昇し、E点で表面粒子群が浮遊し始め噴流開始となる。その後、風速を増減させても  $\Delta p_m$  はA-E-D上を変化する。このように、一度噴流させた後では、常にE点で噴流が開始されるのでこの点における速度を噴流開始速度  $u_{os}$  と定義する。

#### 4. 結果及び考察

##### 4.1 圧力損失 $\Delta p_m$ について

###### 4.1.1 圧力損失 $\Delta p_m$ と空塔風速 $u_o$ の関係

粉粒体層を通過する流体速度(空塔風速  $u_o$ )と圧力損失  $\Delta p_m$  の関係を示したものがFig. 5である。いずれの試料の場合も同様な特性を示しており、モデル的に表わすとFig. 6のようになる。A→Bの間は容器内の粉粒体は静止しており(固定層: Fixed bed)、空塔風速  $u_o$  の上昇にほぼ比例して圧力損失  $\Delta p_m$  は増加している。層断面に対して均一な流体の流れが成立する固定層の圧損については多くの実験式が提唱されてい

るが、中でも Ergun の式は層流域から乱流域まで広範囲に亘ってよく一致すると言われている<sup>13,14)</sup>。すなわち、圧力損失  $\Delta p_m$  は

$$\Delta p_m/L = 150(u_o \cdot \mu_f/d_p^2 \cdot g_c) \cdot \{(1-\varepsilon)^2/\varepsilon^3\} + 1.75(u_o^2 \cdot \rho_f/d_p \cdot g_c) \cdot \{(1-\varepsilon)/\varepsilon^3\} \quad (1)$$

但し  $\Delta p_m$ : 圧力損失 ( $\text{g}\cdot\text{wt}/\text{cm}^2$ )

$L$ : 層高 (cm)

$d_p$ : 平均粒径 (cm)

$g_c$ : 重力換算係数 ( $\text{g}\cdot\text{cm}/\text{g}\cdot\text{wt}\cdot\text{sec}^2$ )

$u_o$ : 空塔風速 (cm/sec)

$\varepsilon$ : 空隙率 (-)

$\mu_f$ : 流体粘度 ( $\text{g}/\text{cm}\cdot\text{sec}$ )

$\rho_f$ : 流体密度 ( $\text{g}/\text{cm}^3$ )

で表わされ、右辺第1項は粘性による摩擦損失が支配的となる層流項を表わしており、第2項は運動によるエネルギーの損失が支配的となる乱流項を示している。

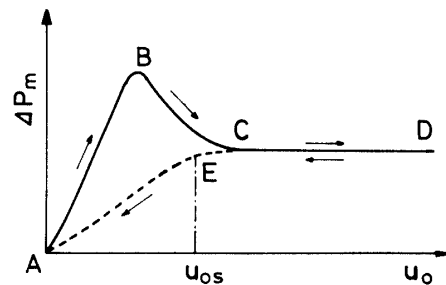


Fig. 6 Model diagram of pressure drop in the Spouted bed

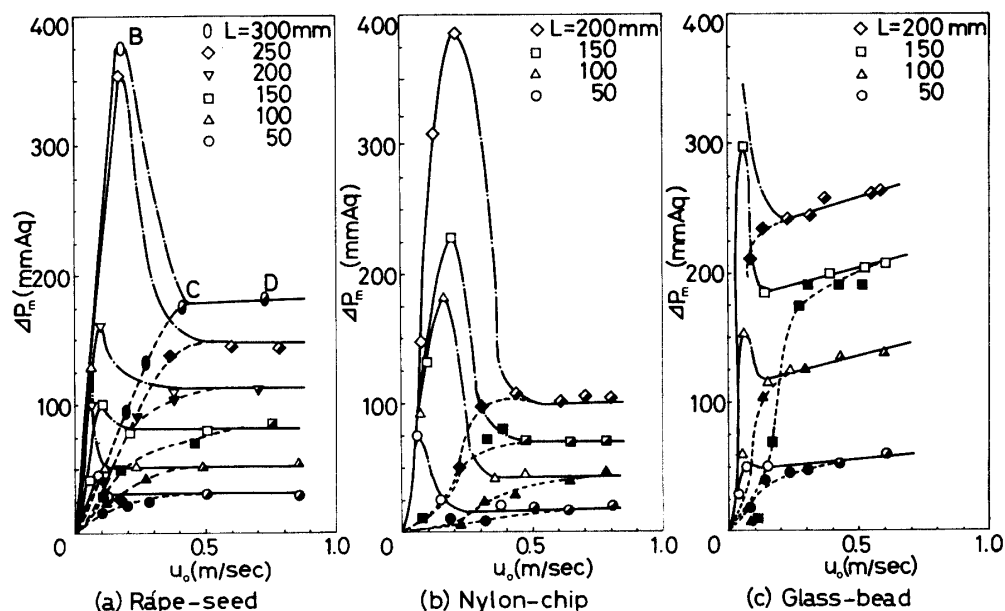


Fig. 5 Relation between  $\Delta p_m$  and  $u_o$

Table.2 Variation of the voidage  $\epsilon$  before and after spouting

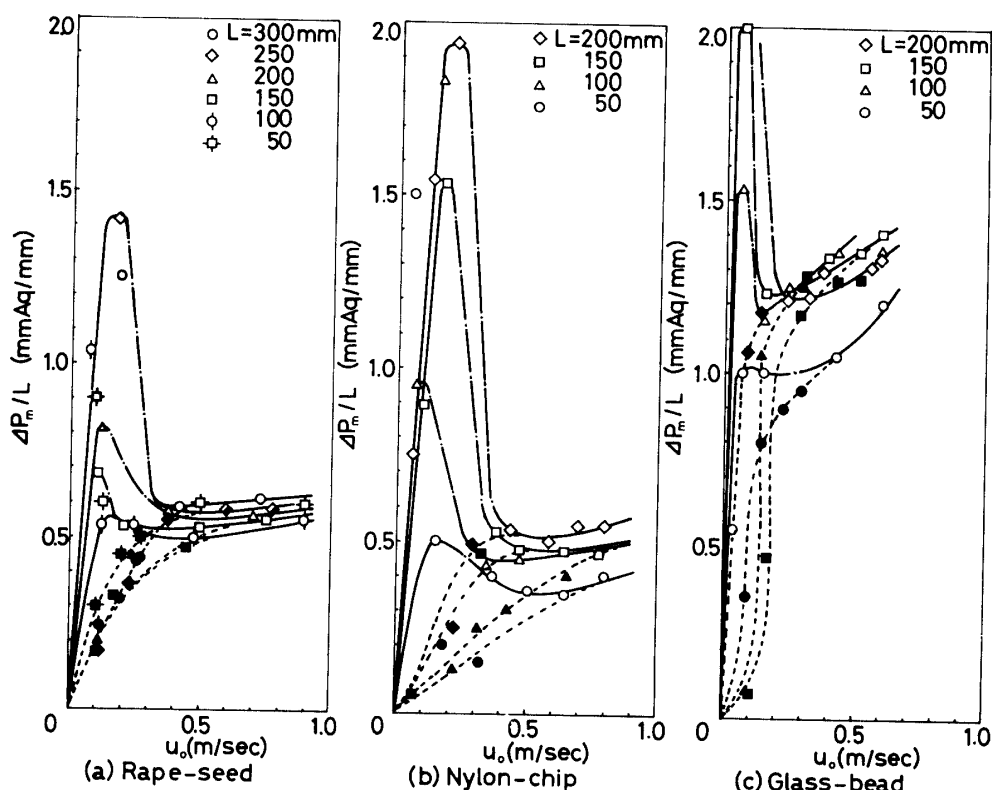
Voidage	Before Spouting			After Spouting			After S./Before S.		
	$\epsilon$	$(1-\epsilon)^2/\epsilon^3$	$(1-\epsilon)/\epsilon^3$	$\epsilon$	$(1-\epsilon)^2/\epsilon^3$	$(1-\epsilon)/\epsilon^3$	$\epsilon$	$(1-\epsilon)^2/\epsilon^3$	$(1-\epsilon)/\epsilon^3$
Rape-seed	0.35	9.85	15.15	0.42	4.54	7.83	1.20	0.46	0.52
Nylon-chip	0.36	8.78	13.72	0.46	3.00	5.55	1.28	0.34	0.40
Glass-bead	0.39	6.27	10.29	0.45	3.32	5.04	1.15	0.53	0.49

固定層では流速が小さい範囲であるために、乱流項は無視されるものと考えられ、さらに粉粒体層は充填初期の状態を保っているので空隙率  $\epsilon$  も変化せず、層高一定ならば圧損  $\Delta p_m$  は空塔風速  $u_0$  にほぼ比例することが分る。Fig. 5 に見られるように、いずれの場合でも立上り部分 (Fig. 6 の A-B) で直線性が若干ずれる理由は、流体の送入部が容器底面の中央部に限られており、粉粒体層を通過する流体の速度分布が層断面に対して均一でないことと、風量の増加によって流体が粒体層内を通過する範囲 (流体流路) が拡大するためと考えられる。

固定層での圧力損失  $\Delta p_m$  の最大値は Fig. 6 の B 点で示され、この点で粉体層は爆発的な挙動を示し (Photo.1-(a) 参照)、瞬時に固定層から噴流層に転移し、Photo.1-(d)で観察されるように粒体層内の水平標線は V 字型に壊されて流体の流路が限定される。さらに、圧力損失  $\Delta p_m$  は急激に減少する。B 点の位置は層内の通過風速の絶対値だけでなく、通過風速を上昇させる速さにも影響を受けるために再現性は余り良好とは言えない。一回の噴流によって圧損  $\Delta p_m$  は急激に減少するわけであるが、粒子の挙動は固定層のときとほとんど変わらず静止している。大きな差異は層の空隙率  $\epsilon$  であり、Table. 2 に示すように噴流前と噴流後では空隙率  $\epsilon$  は約 1.2 倍に増加している。(噴流後の  $\epsilon$  は流体が透過している粒体層の  $\epsilon$  を示す) (1)式の層流項と乱流項の  $\epsilon$  に関する係数 ( $(1-\epsilon)^2/\epsilon^3$  及び  $(1-\epsilon)/\epsilon^3$ ) を噴流前後の  $\epsilon$  の値を代入して算出すると Table. 2 に示すように、なたねでは約 1/2 にナイロンチップでは約 2/5、ガラスビーズでは約 1/2 に噴流後の  $\Delta p_m$  は減少することが分り、Fig. 5 に示す B 点から C 点への  $\Delta p_m$  の減少割合の結果とよく一致している。したがって、噴流前後で生じる  $\Delta p_m$  の急激な減少は  $\epsilon$  の増加によるものと考えられる。また、一度び噴流化すると風量を増して粒体層を通過する流体速度を上昇させても、粒子が高く噴き上げられて容器の外に飛び出す状態 (空気輸送状態) になるまでは圧損  $\Delta p_m$  はほとんど変化しない (Fig. 6 の C-D 間)。これは流

動化層特有の性質である。この性質は、第 1 式の  $\Delta p_m$  と  $\epsilon$   $u_0$  との関係から考察される。Table. 2 で示されたように(1)速度  $u_0$  が上昇すると空隙率  $\epsilon$  は増大する傾向にあり、なたねを例にした場合、 $\epsilon$  が 20% 増大したときに  $\epsilon$  に関する係数  $(1-\epsilon)^2/\epsilon^3$ ,  $(1-\epsilon)/\epsilon^3$  はそれぞれ 50% 減少しており、 $\epsilon$  の増大は  $\Delta p_m$  を減少させることになる。(2)一方、(1)式より速度  $u_0$  の上昇は  $\Delta p_m$  を増大させ、特に右辺第 2 項は  $u_0$  の 2 乗に比例するために第 2 項  $\Delta p_m$  の大きな增加分をもたらすことになる。以上のような 2 つの効果によって結果として、噴流時の圧損  $\Delta p_m$  は  $u_0$  に関係なくほとんど一定する (Fig. 6 の C-D) ものと思われる。 $\Delta p_m$  は変化しなくとも浮遊粒子が多くなり浮遊距離も長くなるので、見方を変えれば噴流開始速度以上では速度の増加分のエネルギーは単に粒子層を攪拌することだけに費されるものと考えられる。

一方、噴流化させた後に風速を減少させて来ると Fig. 5 の破線で示されるように、 $\Delta p_m$  は  $u_0$  まではほぼ水平線上を辿るが (モデル的には Fig. 6 の D-E 間)、それ以下になると固定層となるので  $\Delta p_m$  は最大値を示すことなく漸次減少していく (Fig. 6 の E-A 間)、この現象も流動化層特有の性質である。この場合には固定層となつても空隙率  $\epsilon$  が噴流時の値を保っているために、充填初期の固定層の圧損よりも小さく  $u_0$  の減少にほぼ比例して  $\Delta p_m$  が減少する。すなわち、噴流前後に見られる  $\Delta p_m$  の履歴現象は主として粉粒体層の空隙率  $\epsilon$  に支配されるものと考えられる。尚、ガラスビーズでは噴流化状態に達してからも  $u_0$  の増加につれて  $\Delta p_m$  が徐々に上昇しているが (Fig. 5-(c)), これはガラスビーズでは内部摩擦係数が大きいので (見方を変えれば付着性が大) Photo. 4, 5 で観察されるように主としてガスは気泡の形で運ばれるので、脱気性が悪いものと考えられる。したがって、ガラスビーズでは前述の  $\Delta p_m$  と  $\epsilon$ ,  $u_0$  の関係において、 $\epsilon$  の増大による  $\Delta p_m$  の減少よりも、 $u_0$  の増加による  $\Delta p_m$  の増大の方が大きくなり、 $u_0$  の上昇につれて  $\Delta p_m$  はわずかに増大して行くものと思われる。

Fig. 7 Relation between  $\Delta p_m/L$  and  $u_o$ 

#### 4.1.2 圧損 $\Delta p_m$ と層高 $L$ の関係

次に、層高  $L$  による  $\Delta p_m$  への影響について考察する。一般に流動層では  $\Delta p_m$  は  $L$  に比例すると言われているので<sup>5)</sup>、縦軸に  $\Delta p_m/L$  をとって空塔風速  $u_o$  による変化を見ると Fig. 7 のようになる。試料を充填して固定層の状態から風速を上昇させた場合、層高  $L$  によって単位長さ当たりの圧損は初期充填状態のわずかな違いや、流体流路の拡大、風速の上昇速度などによってかなりのバラツキが見られるが、噴流化の状態ではほとんど一致している。Fig. 7(a)のなたねにおいては、 $u_o$  が 0.4 m/sec 以上で  $\Delta p_m/L$  がほとんど変化していないが、これは流体流路の範囲が変化しないためと考

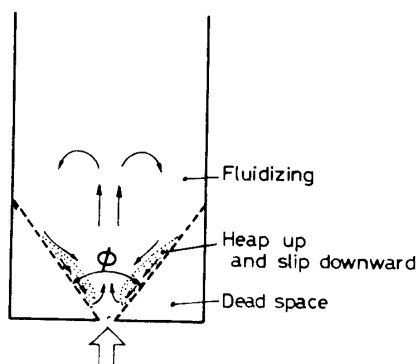
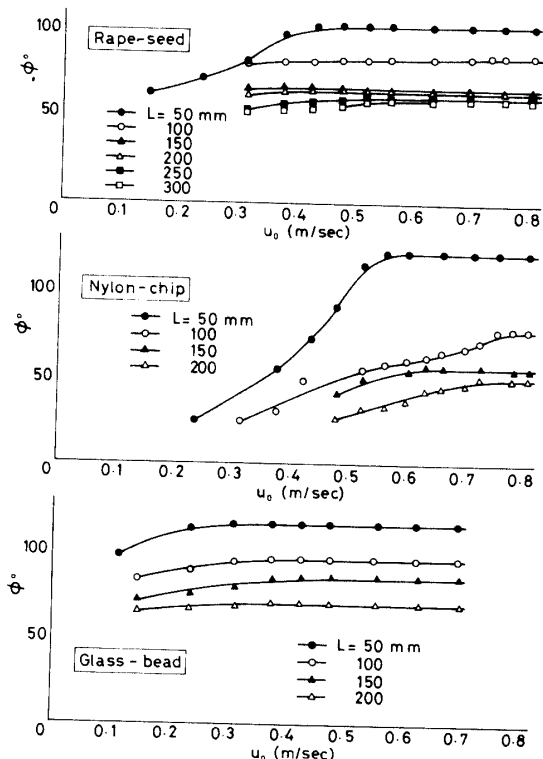
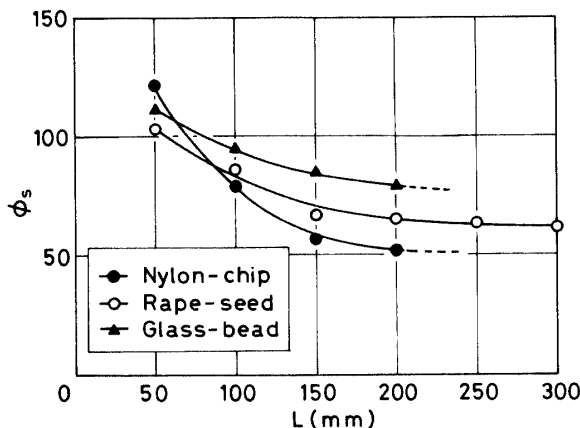


Fig. 8 Partcle trajectories in the spouted bed

えられる。いま、流体流路の範囲を示す量として Fig. 8 のように流路の拡がり角度  $\phi$  を流動角と呼ぶことにする。そして、空塔風速  $u_o$  との関係を示すと Fig. 9 のようになる。なたねでは、すべての層高  $L$  について

Fig. 9 Relation between  $\phi$  and  $u_o$

Fig. 10 Relation between  $\phi_s$  and  $L$ 

$u_o \geq 0.4 \text{ m/sec}$  では流動角  $\phi$  は飽和しており、Fig. 7-(a) の結果と一致している。同様にナイロンチップでは  $0.55 \text{ m/sec}$  付近から、ガラスビーズでは  $0.3 \text{ m/sec}$  から  $\phi$  は飽和し (Fig. 9-(b), (c)), Fig. 7-(b), (c) に示す  $\Delta p_m/L$  の変化とほぼ一致している。

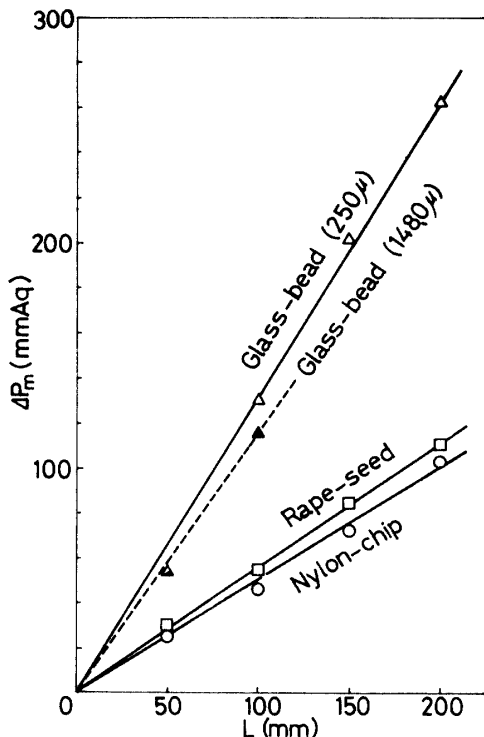
また、流動角  $\phi$  は層高  $L$  が大きくなるに従って小さくなる傾向を示しており、一例として Fig. 9 の飽和している流動角  $\phi_s$  で層高  $L$  との関係を示したもののが Fig. 10 である。いずれの試料も層高  $L$  の増大にしたがって流動角  $\phi_s$  は減少し、 $L$  が  $150 \text{ mm}$  以上になると  $\phi_s$  は一定となる。ここで、流動角  $\phi$  が小さいということは断面積が小さくなるので粉体層を通過する流体速度は大きくなつて  $\Delta p_m$  は増大するものと考えられる。このような立場から  $L$  と  $\phi_s$ ,  $\Delta p_m/L$  の関係をえた場合、層高  $L$  の増加に対する  $\phi_s$  の減少の傾向 (Fig. 10) が、 $L$  の増加に対する  $\Delta p_m/L$  の増加状況 (Fig. 7) にほぼ一致しているのはナイロンチップだけである。なたねでは層高  $L$  によって流動角  $\phi$  が変化しているにもかかわらず、 $\Delta p_m/L$  は  $L$  に関係なく一定値を示し (Fig. 7-(a)), ガラスビーズでは層高  $L$  が  $100 \text{ mm}$  以上で、 $L$  に関係なく  $\Delta p_m/L$  はほぼ一定であった (Fig. 7-(c))。

以上より、噴流層では圧力損失  $\Delta p_m$  は流動角  $\phi$  が飽和すると一定となり、 $L \geq 100 \text{ mm}$  では  $\phi$  の違いが  $\Delta p_m$  に及ぼす影響はほとんどなくなり層高  $L$  に比例すると言える。

#### 4.1.3 噴流化状態の $\Delta p_m$ に及ぼす試料の物性について

噴流化状態の  $\Delta p_m$  はほぼ一定であり、その大きさは層高  $L$  によって変化しているので、空塔風速が  $0.4 \text{ m/sec}$  付近における  $\Delta p_m$  を縦軸に、層高  $L$  を横軸

にして表わすと Fig. 11 のようになる。どの試料も  $\Delta p_m$  は  $L$  に比例しており、直線の傾斜 ( $\Delta p_m/L$ ) は  $d_p = 250 \mu$  のガラスビーズが最も大きく、なたね、ナイロンチップと比較すると約 2 倍となっている。この違いは Table. 1 の物性表から、主として粒径と真密度あるいは見掛け密度に起因しているものと予想される。そこで、 $d_p = 250 \mu$  のガラスビーズと同じ真密度で粒子径の大きなガラスビーズ ( $d_p = 1,480 \mu$ ) を用いた結果を示すと Fig. 11 の破線のようになり、 $\Delta p_m$  は粒子径が異なってもほとんど影響を受けないことが判る。したがって、噴流化の状態における  $\Delta p_m$  は、主として粉粒体の真密度あるいは見掛け密度に支配されるものと思われる。

Fig. 11 Relation between  $\Delta p_m$  and the height of the bed  $L$  ( $u_o = 0.4 \text{ m/sec}$ )

#### 4.2 噴流開始速度 $u_{os}$ について

固定層から噴流を開始する流体の速度は、Fig. 6 の B 点の速度である。しかし、この点は Fig. 5 に見られるように再現性が悪い。一方、一度噴流化させた後に風量を減少させて固定層に移行するときの風速 (Fig. 6 の E 点) は再現性が良いので、このときの風速を噴流開始速度  $u_{os}$  と呼ぶことにする。噴流開始速度  $u_{os}$  と層高  $L$  の関係を表わしたのが Fig. 12 である。どの試料も  $L$  が大きくなるにしたがって  $u_{os}$  は大きくなり、 $L \geq 150 \text{ mm}$  では一定となる。流動層では一般に流動

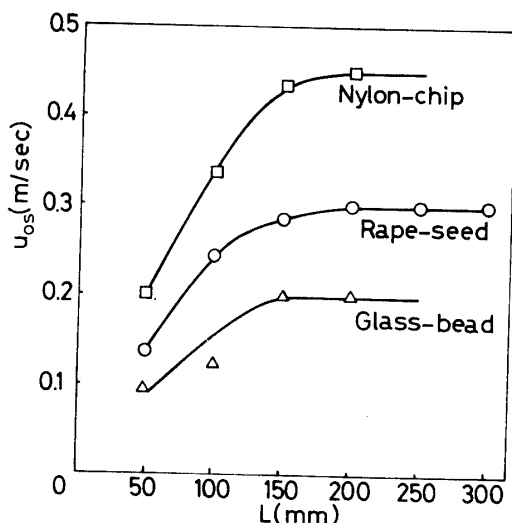


Fig.12 Relation between the minimum spouting velocity  $u_{os}$  and  $L$

開始速度  $u_{ms}$  ( $u_{os}$  と同様の考え方) は、 $L$  による変化はないと言わわれているが<sup>5)</sup>、一方噴流層では層高  $L$  の増加につれて  $u_{os}$  が、「増加→一定」となることは極めて特徴的な現象である<sup>9,10)</sup>。これは、流体送入口が層中央断面の一部分に設けられているため、流動角  $\phi$  で表わされる流体流路が風速によって変化するためと考えられる。Fig.10から判るように、 $L$  が大きくなるにしたがって  $\phi$  は一定値に減少漸近している。すなわち、 $L$  の増加に対し  $\phi$  がほとんど減少しなくなるという事実から、流体流路が一定となるために Fig.12 の  $u_{os}$  が一定値に達しているのが理解される。

次に Fig.12 で上記の噴流開始速度  $u_{os}$  を試料別に検

討してみると、ガラスビーズが最小で続いてなたね、ナイロンチップの順に大きくなっている。この理由については粒子群が飛び出すメカニズムが複雑であるために、さらに詳細な実験を行なう必要があるものと思われるが、ここでは現象論的な考察を行なう。ガラスビーズでは、粒子が小さいので粒子間の隙間で構成される流路が狭く、しかも曲りくねっているために送入された空気が通過しにくい状態となって、Photo.4, 5 に見られるような気泡が形成される。このような気泡の発生・成長による空気の滞留は直接、気泡上部の粒子群を押し上げる原動力となるために、 $u_{os}$  が小さい範囲で噴流が始まるものと考えられる。ガラスビーズの次に粒径の大きななたねでは粒子間の隙間が大きいために、供給された空気は粒体層を比較的容易に通過し、気泡が発生してもすぐに消滅する。(Photo. 3 に示すナイロンチップの気泡形成状態に類似) このために、なたねの噴流開始速度  $u_{os}$  はガラスビーズよりも大きくなるものと思われる。ナイロンチップではなたねと同様な気泡の発生・形成状況を示すが、粒径がなたねより大きいことと粒子形状が円筒型であるということから、粒子間隙が広くなりさらに大きな速度にならないと噴流し始めないものと考えられる。

#### 4.3 噴流化状態における容器内圧力の変動状況について。

噴流層では比較的粗大な粒子を流動化させることが目的であるが、これまで述べてきたように  $\Delta P_m$  や風速  $u_o$  だけで噴流化の状態を的確に把握することは困

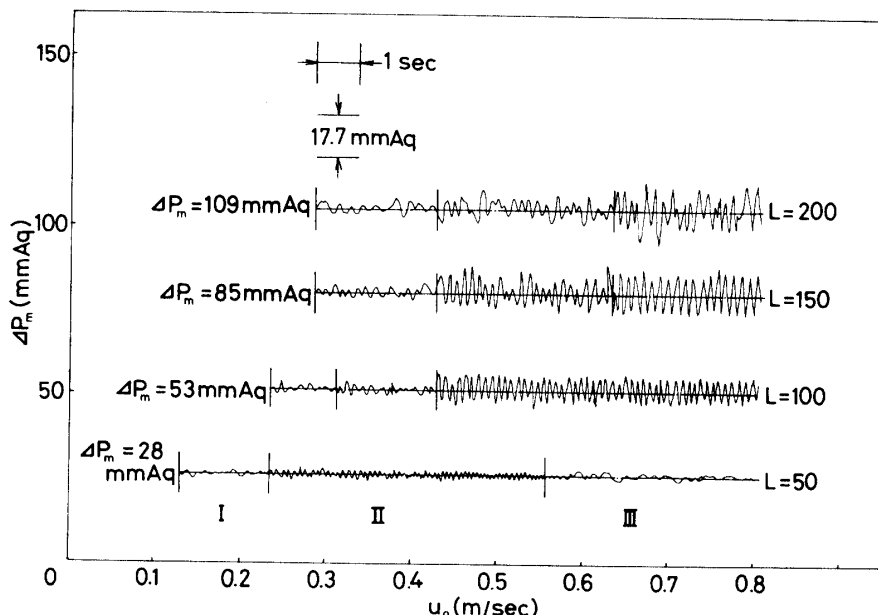
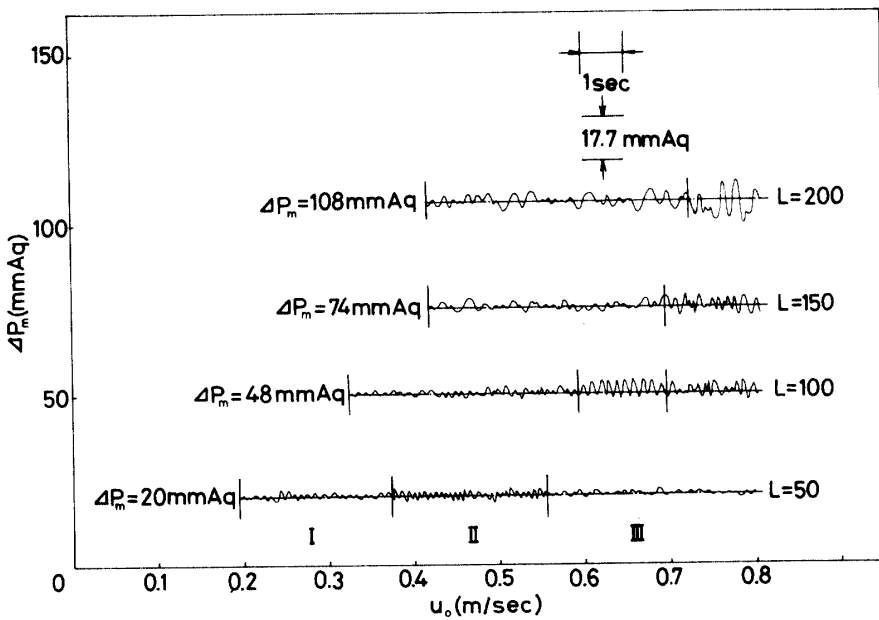
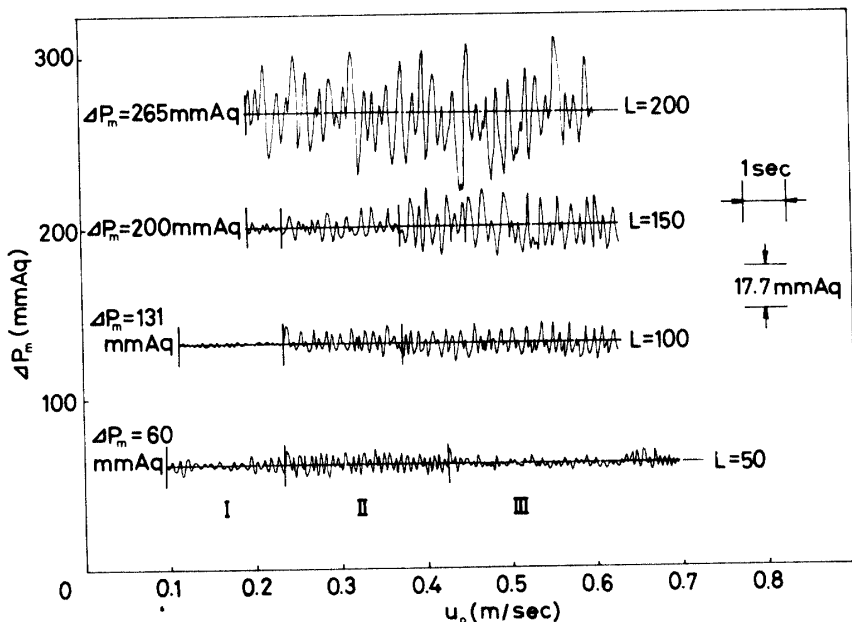


Fig.13 Variation of  $\Delta P_m$  in the vessel (Rape-seed)

Fig. 14 Variation of  $\Delta P_m$  in the vessel (Nylon-chip)Fig. 15 Variation of  $\Delta P_m$  in the vessel (Glass-bead)

難である。したがって、噴流作用によって行なわれる粒体層の流動化の状態を定量的に表現できる量が見出されれば極めて有用であると思われる。そこで、ここでは容器内の圧力変動の波形から噴流化の状態を“噴流化流動性指数  $I_s$ ”なる量を定義して、この  $I_s$  を用いて考察を行なってみる。

実験装置の所で述べたように、容器内の圧力変動はピックアップ①, ④で測定された。このとき ④で検出される噴流層底部の圧力変動はほとんど認められなかつたので、噴流層容器内の圧力変動は④で検出された。その記録波形を示したもののが Fig. 13, 14, 15 である。

層高  $L$  が大きくなるにしたがって圧力の変動幅が大きく、 $u_0$  が大になるにつれても同様の傾向を示している。波形から実験の条件により大別して 3 つの領域に分けられるようである。その 1 つは Photo. 4 のように気泡が発生する領域 I で、この間では  $u_0$  が小さく、気泡の発生はランダムであり、しかも気泡の上昇速度も遅いために  $\Delta P_m$  の変動幅は小さく、変動周期は不規則で比較的長い。第 II の領域では、気泡の発生は認められなかった。そして、Photo. 1, 2 の(d)に見られるように、層表面において連続して粒子の噴き上げが生じている。この領域 II では粒子の対流がスムーズに行

なわれ、噴き上げられる高さも一定しているために圧力変動の周期はほぼ一定になる。さらに、 $u_0$ を大きくした第Ⅲの領域では粒子の噴き上げ運動は連続的に行なわれるが、噴き上げられる高さの変動が大きいので $\Delta p_m$ の変動状況は不規則となり、その変動幅は若干大きくなる。

ここで、なたねでは層高 $L=50\text{mm}$ 、ナイロンチップでは $L=50, 100\text{mm}$ 、ガラスビーズでは $L=50\text{mm}$ とした場合、 $u_0$ を上昇させたときの圧力変動の推移をみると、第Ⅲの領域でこれまでの場合と異なり圧力の変動幅が小さくなり周期が比較的長くなっているが、この傾向は第1の領域と類似している。この理由としては気柱が形成されているため (Fig. 1-(b) 参照)、 $L$ が小さく、速度が比較的大きい場合に起る現象である<sup>1)</sup>。

次に、以上の実験的な事実を総合して、噴流作用によって行なわれる流動化の状態を定量的に表わす方向で、容器内の流動化の状態を考察してみる。噴流作用による粒体層の流動化の状態と Fig. 13, 14, 15 の圧力変動波形から考察すると、(a)圧力の変動が小さいほど流動化は良好である、(b)圧力変動の周期が短いほど流動化は良好であるという傾向が認められる。そこで、データーを整理するための手段として Fig. 16 を参照して説明を行なう。性質(a)を考慮して平均圧力損失値 $\Delta p_m$ と変動波形で囲まれる面積の和 ( $\sum \Delta s$ ) をサンプリング時間 $T_0$ で割ったものを平均偏差とし、性質(b)のことを考慮して上記の平均偏差を振動数 ( $1/T$ ) で割ったものを流動層の場合に対比させて“噴流化流動性指数 (Spouted fluidizing Index)  $I_s$ ”と呼ぶことにする<sup>6)</sup>。

$$\begin{aligned} I_s &= (\text{平均圧損値と変動波形で囲まれる面積の和} / \text{サンプリング時間}) / \text{振動数} \\ &= (\sum \Delta s / T_0) / (1/T) (\text{g} \cdot \text{wt} \cdot \text{sec} / \text{cm}^2) \end{aligned}$$

この式より、“噴流化流動性指数 $I_s$ ”は1周期当たりにどの程度の圧力変動が存在するかということを表わしており、 $I_s$ の値が小さい方が噴流作用による粒子群の均一な流動化が良好に行なわれていることを示す。このようにして求められた $I_s$ と $u_0$ の関係を示したのが Fig. 17 である。これらの図から、なたねとナイロンチップでは同じような傾向が認められ、 $u_0$ の上昇に伴い $I_s$ も増大するがある風速以上になると逆に減少し始める。 $I_s$ の増大期 (図中の区間I) では、粒体層はゆっくりとした間欠的な噴流を繰り返しており (Fig. 6 の C-D)。 $u_0$ の増加につれて噴流間隔が短くなるため $I_s$ が小さくなるが、また一方、 $u_0$ の増加により層表面の粒子群が噴き上げられる高さが上昇するので、こ

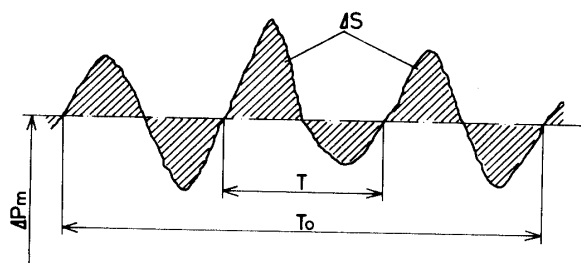
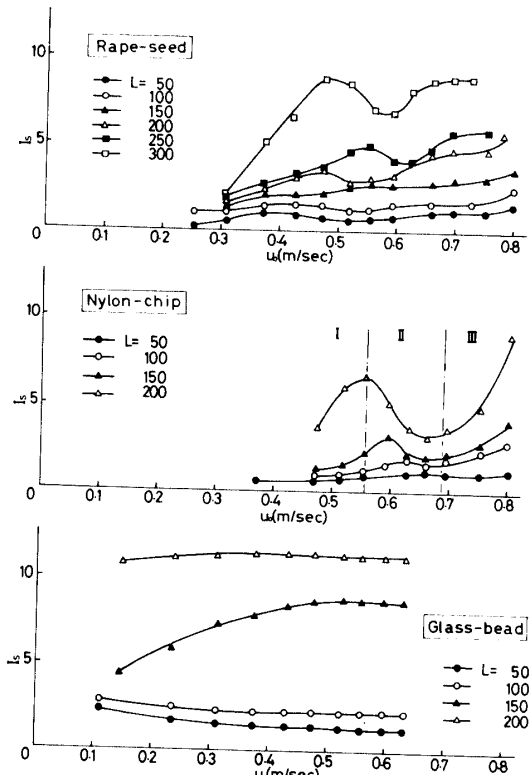


Fig. 16 Recordr of pressure drop fluctuation

Fig. 17 Relation between  $I_s$  and  $u_0$ 

のため圧力の変動幅が大きくなることにより $I_s$ が大きくなる。流動性指数 $I_s$ が大となるのは、前者より後者の効果が大きいためと考えられる。 $I_s$ の減少期では安定した噴流状態となっており、 $u_0$ が上昇しても圧力変動幅が余り変化せず、代りに変動周期が短くなるために $I_s$ が減少し、良好な流動化の状態となっている。(図中の区間II)さらに $u_0$ を大きくすると噴流状態が不連続となり、噴き上げられる粒子群の高さも大きく変動するために、 $I_s$ は再び増大して流動化状態は悪化している。(図中の区間III)ガラスビーズでは、噴流作用による流動化のパターンがなたねやナイロンチップの場合と異なるために、流動化の程度を直接 $I_s$ を用いて表現することは現状では困難であった。また、気柱が生じている (Fig. 1-(b)) ような状態では、 $I_s$ はわずかに上昇しているだけで大きな変化は現われてい

ない。

以上より、流動化の状態を噴流化流動性指数  $I_s$  で表現する試みは、粗大な粒子については合理的であるが、微細粒子の場合には困難な所があり、また気柱が生じる噴流化の状態についても  $I_s$  のみで表現することは困難である。

### 5. まとめ

以上の結果より、以下の事柄が明らかとなった。

(1) 噴流層では、微細粒子よりも粗大粒子の方が流動化に適している。

(2) 固定層では、風速上昇時と減少時では空隙率  $\varepsilon$  が増大しているので圧力損失  $\Delta p_m$  曲線にヒステリシスが生じるが、噴流化の状態では風速の大小によらず  $\Delta p_m$  はほとんど影響を受けない (Fig. 5)。

(3) 噴流化時の  $\Delta p_m$  は  $L \geq 100\text{mm}$  の範囲では層高  $L$  に比例し、見掛け密度が大きい粒体の方が  $\Delta p_m$  は大きい (Fig. 7, 11)。

(4) 噴流開始速度  $u_{os}$  については、層高  $L$  の増加につれて流動角  $\phi$  が ‘減少 → 飽和’ するので (Fig. 10),  $u_{os}$  は ‘増大 → 飽和’ することが判明した。 (Fig. 12)

(5) 圧力変動波形の観察より噴流化の状態は風速  $u$  によって大別して 3 つに区分され、粗大粒子では噴流化流動性指数  $I_s$  で噴流化状態を推定できるが、微細な粒子では  $I_s$  のみで噴流化状態の判定は困難である。また、 $I_s$  のみでは気柱が生じているような噴流化の

状態までは推定することができない。

終りに、本実験については本学卒業生、島内邦夫君、船倉健史君の協力で行なわれたことを記し、感謝する。

### 引用文献

- 1) K.B. Mathur and P.E. Gishler A.I. ch. E. Journal, 1, 2, 157 (1955)
- 2) T. Mamuro and H. Hattori J. Chem. Eng. Japan, 1, 1, 1 (1968)
- 3) 横川明：日本機械学会論文集（第2部）35, 277, 1903 (1969)
- 4) 横川明：日本機械学会論文集（第2部）36, 283, 365 (1970)
- 5) 白井隆：流動層、科学技術社 (1973)
- 6) 竹田邦彦：化学工学, 21, 3, 124 (1957)
- 7) L.A. Madonna, R.F. Lama and W.L. Brisson Canad. J. Chem. Eng., 54, 33 (1976)
- 8) Z.B. Grabavcic, D.V. Vukovic, F.K. Zdanski Canad. J. Chem. Eng., 54, 33 (1976)
- 9) L.A. Madonna and R.F. Lama I & EC, 52, 2, 169 (1960)
- 10) M.A. Malek and B.C.Y. Lu I & EC, Process Des. Develop., 4, 1, 123 (1965)
- 11) 横川明：日本機械学会論文集（第2部）36, 283, 375 (1970)
- 12) 横川明：日本機械学会論文集（第2部）36, 287, 1117 (1970)
- 13) S. Ergun Chem. Eng. Progress, 48, 2, 89 (1952)
- 14) S.M. Yoon and D. Kunii I & EC, Process. Des. Develop., 9, 4, 559 (1970)

(昭和51年10月25日受理)